

都市部近接施工マニュアル(平成19年1月初版) 正誤表

ページ	誤	正
<p>P.26 図 1.5.1</p>		
<p>P.47</p>	<p>制限範囲：図中に示す「Ⅲ」の範囲（①または②で決まる範囲）</p> <p>①直接基礎の場合</p> <p>$B_0 > 2B_1$ ($0.5B_1 \leq D_{f2} < B_1$)</p> <p>$B_0 > 4B_1$ ($B_1 \leq D_{f2} < 2B_1$)</p> <p>$B_0 > 5B_1$ ($2B_1 \leq D_{f2}$)</p> <p>②杭基礎・ケーソン基礎の場合 ($D_{f2} \geq D_{f1}$)</p> <p>$B_0 > 2B_1$ ($0.5B_1 \leq D_{f2} < B_1$)</p> <p>$B_0 > 4B_1$ ($B_1 \leq D_{f2} < 2B_1$)</p> <p>$B_0 > 5B_1$ ($2B_1 \leq D_{f2}$)</p>	<p>制限範囲：図中に示す「Ⅲ」の範囲（①または②で決まる範囲）</p> <p>①直接基礎の場合</p> <p>$B_0 \leq 2B_1$ ($0.5B_1 \leq D_{f2} < B_1$)</p> <p>$B_0 \leq 4B_1$ ($B_1 \leq D_{f2} < 2B_1$)</p> <p>$B_0 \leq 5B_1$ ($2B_1 \leq D_{f2}$)</p> <p>②杭基礎・ケーソン基礎の場合 ($D_{f2} \geq D_{f1}$)</p> <p>$B_0 \leq 2B_1$ ($0.5B_1 \leq D_{f2} < B_1$)</p> <p>$B_0 \leq 4B_1$ ($B_1 \leq D_{f2} < 2B_1$)</p> <p>$B_0 \leq 5B_1$ ($2B_1 \leq D_{f2}$)</p>

P.48

(2) 既設構造物が地中構造物の場合

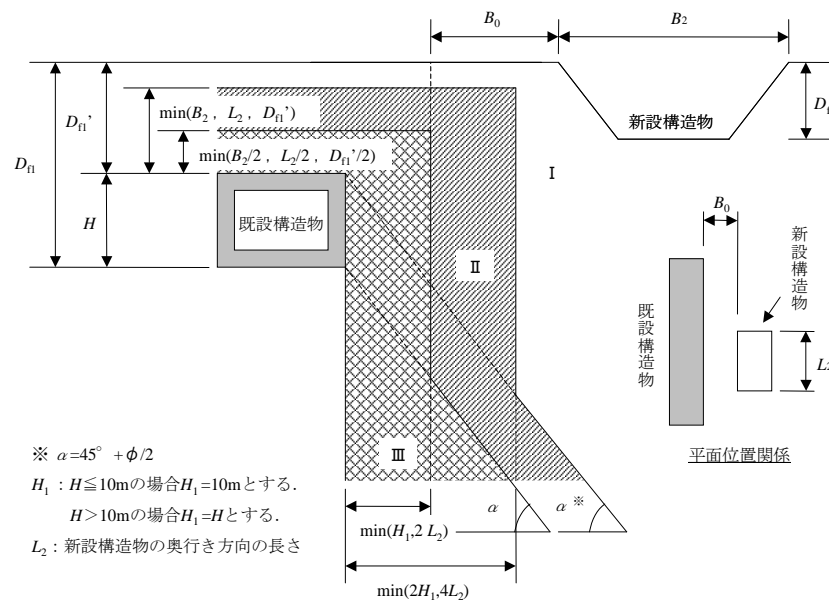


図 3.2.5 切土の近接程度の区分 (図中の記号は 1.5.2 による)

無条件範囲 : 図中に示す「I」の範囲 (①または②または③で決まる範囲)

- ① $D_{12} \geq \min(B_2, L_2, D_{11}')$
- ② $B_0 \geq \min(2H_1, 4L_2)$
- ③ $D_{12} \geq D_{11}'$ で, $B_0 \leq (D_{12} - D_{11}') \cdot \tan(90^\circ - \alpha)$

P.49

制限範囲 : 図中に示す「III」の範囲

$$\max [H_1 \cdot \tan(90^\circ - \phi), \left\{ \begin{array}{l} B_0 > 2B_1 \quad (0.5B_1 \leq D_{12} < B_1) \\ B_0 > 4B_1 \quad (B_1 \leq D_{12} < 2B_1) \\ B_0 > 5B_1 \quad (2B_1 \leq D_{12}) \end{array} \right\}]$$

P.67

⑤ $0 < B_0 \leq \min(H_1/2, L_2)$ で,
 $D_{12} \geq D_{11}' - \min(B_2/2, L_2/2, D_{11}'/2) + B_0 \cdot \{ \min(B_2/2, L_2/2, D_{11}'/2) \} / \min(H_1/2, L_2)$

(2) 既設構造物が地中構造物の場合

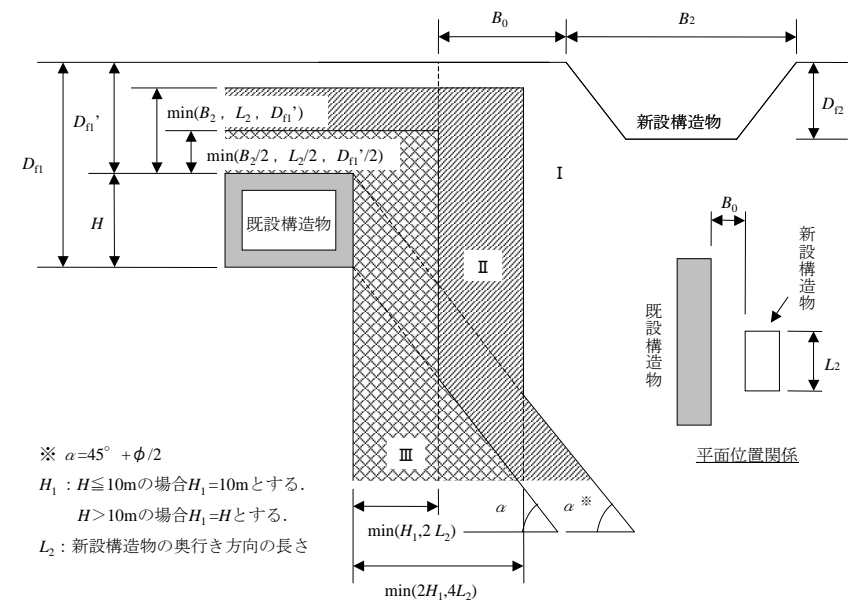


図 3.2.5 切土の近接程度の区分 (図中の記号は 1.5.2 による)

無条件範囲 : 図中に示す「I」の範囲 (①または②または③で決まる範囲)

- ① $D_{12} < D_{11}' - \min(B_2, L_2, D_{11}')$
- ② $B_0 > \min(2H_1, 4L_2)$
- ③ $D_{12} > D_{11}'$ で, $B_0 > (D_{12} - D_{11}') \cdot \tan(90^\circ - \alpha)$

制限範囲 : 図中に示す「III」の範囲

$$\max [H_1 \cdot \tan(90^\circ - \phi), \left\{ \begin{array}{l} B_0 \leq 2B_1 \quad (0.5B_1 \leq D_{12} < B_1) \\ B_0 \leq 4B_1 \quad (B_1 \leq D_{12} < 2B_1) \\ B_0 \leq 5B_1 \quad (2B_1 \leq D_{12}) \end{array} \right\}]$$

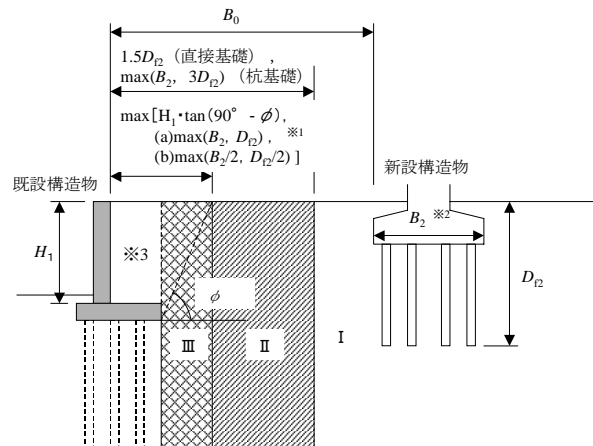
⑤ $0 < B_0 \leq \min(H_1/2, L_2)$ で,
 $D_{12} \geq D_{11}' - \min(B_2/2, L_2/2, D_{11}'/2) + B_0 \cdot \{ \min(B_2/2, L_2/2, D_{11}'/2) \} / \min(H_1/2, L_2)$

P.67	<p>無条件範囲：図中に示す「I」の範囲（①または②または③で決まる範囲）</p> <p>① $D_{12} < D_{11}' - \min(B_2, L_2, D_{11}')$</p> <p>② $B_0 \geq \min(H_1, 2L_2)$</p> <p>③ $D_{12} > D_{11}'$ で、$B_0 > (D_{12} - D_{11}') \cdot \tan(90^\circ - \alpha)$</p>	<p>無条件範囲：図中に示す「I」の範囲（①または②または③で決まる範囲）</p> <p>① $D_{12} < D_{11}' - \min(B_2, L_2, D_{11}')$</p> <p>② $B_0 > \min(H_1, 2L_2)$</p> <p>③ $D_{12} > D_{11}'$ で、$B_0 > (D_{12} - D_{11}') \cdot \tan(90^\circ - \alpha)$</p>
------	---	---

P.81

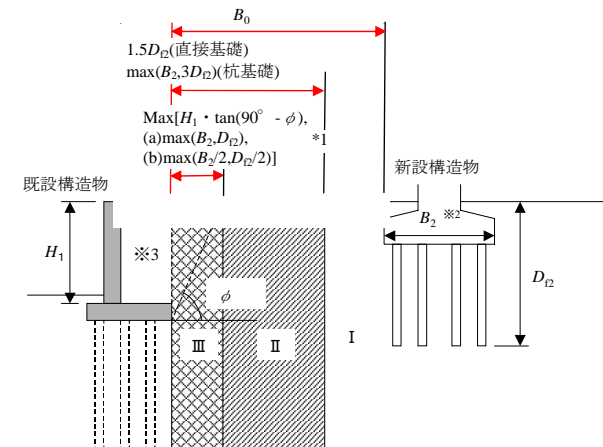
測定の目的	測定項目	測定事項	砂質土			粘性土		
			N値			安定係数 N_s		
			<10	10~30	>30	<3	3~5	>5
A.土留壁の管理	1.土留壁	(1)土留壁に作用する土圧 (2)土留め壁に作用する水圧 (3)土留壁の曲げひずみ (4)土留壁の変形	○ ○ ○ ○				○ (○) (○) ○	
	2.切ばり, 腹起し	(5)切ばりに作用する軸力と変形(アンカーを含む) (6)腹起しのたわみ, ねじれ (7)接合部のゆるみ, 局部破壊 (8)切ばりの温度変化	○ ○ ○ ○	○		○ ○ ○ ○	○ (○) (○) ○	
B.掘削底面の管理	3.ヒービング	(9)底面の隆起						
	4.被圧地下水による盤ぶくれ	(10)底面の隆起と砂層の水圧	○	○	○	○	○	
	5.ボーリング	(11)流砂現象	○	○	○			
C.周辺地盤の管理	6.周辺地盤の変位計測	(12)背面地盤の変形	○	○		○	○	
	7.周辺構造物の変位計測	(13)構造物の沈下, 傾斜	○	○	○	○	○	
D.排水, 漏水の管理	8.地下水位の観測	(14)排水量と地下水位変動	○	○	○			
	9.漏水箇所の点検	(15)漏水箇所の発見	○	○	○	○	○	
E.有毒ガスの管理	10.有毒ガス等の検知	(16)有毒ガス, 酸欠空気等の検知	(○)	(○)	(○)	(○)	(○)	

P.85



- ※1 (a) max : 飽和したシルト, 粘土, ローム質土層
(b) max : (a) max以外の粘性土層, 砂質土層
- ※2 杭の打込み間隔が広く, 群杭効果がない場合(杭間隔 > 5D)は, $B_2 = 3nb_2$ (ここで, n : 杭の列数, b_2 : 杭径)
- ※3 プーチング直上の抗土圧構造物背面は, 別途検討すること

測定の目的	測定項目	測定事項	砂質土			粘性土		
			N値			安定係数 N_s		
			<10	10~30	>30	<3	3~5	>5
A.土留壁の管理	1.土留壁	(1)土留壁に作用する土圧 (2)土留め壁に作用する水圧 (3)土留壁の曲げひずみ (4)土留壁の変形	○ ○ ○ ○				○ (○) (○) ○	
	2.切ばり, 腹起し	(5)切ばりに作用する軸力と変形(アンカーを含む) (6)腹起しのたわみ, ねじれ (7)接合部のゆるみ, 局部破壊 (8)切ばりの温度変化	○ ○ ○ ○	○		○ ○ ○ ○	○ (○) (○) ○	
B.掘削底面の管理	3.ヒービング	(9)底面の隆起					○ ○	
	4.被圧地下水による盤ぶくれ	(10)底面の隆起と砂層の水圧	○	○	○	○	○	
	5.ボーリング	(11)流砂現象	○	○	○			
C.周辺地盤の管理	6.周辺地盤の変位計測	(12)背面地盤の変形	○	○		○	○	
	7.周辺構造物の変位計測	(13)構造物の沈下, 傾斜	○	○	○	○	○	
D.排水, 漏水の管理	8.地下水位の観測	(14)排水量と地下水位変動	○	○	○			
	9.漏水箇所の点検	(15)漏水箇所の発見	○	○	○	○	○	
E.有毒ガスの管理	10.有毒ガス等の検知	(16)有毒ガス, 酸欠空気等の検知	(○)	(○)	(○)	(○)	(○)	



- ※1 (a) max : 飽和したシルト, 粘土, ローム質土層
(b) max : (a) max以外の粘性土層, 砂質土層
- ※2 杭の打込み間隔が広く, 群杭効果がない場合(杭間隔 > 5D)は, $B_2 = 3nb_2$ (ここで, n : 杭の列数, b_2 : 杭径)
- ※3 プーチング直上の抗土圧構造物背面は, 別途検討すること

P.95	<p>無条件範囲：図中に示す「Ⅰ」の範囲</p> <p>① $D_{f1}' \leq D_{f2} < D_{f1}$ の場合で, $B_0 > 2b_2$</p> <p>② $D_{f2} \geq D_{f1}$ の場合で, $B_0 > (D_{f2} - D_{f1}) \cdot \tan(90^\circ - \alpha) + 2b_2$</p> <p>要注意範囲：図中に示す「Ⅱ」の範囲 (①または②で決まる範囲)</p> <p>{ Ⅰ, Ⅲの条件のどちらにも該当しない範囲 }</p>	<p>無条件範囲：図中に示す「Ⅰ」の範囲 (①または②で決まる範囲)</p> <p>① $D_{f1}' \leq D_{f2} < D_{f1}$ の場合で, $B_0 > 2b_2$</p> <p>② $D_{f2} \geq D_{f1}$ の場合で, $B_0 > (D_{f2} - D_{f1}) \cdot \tan(90^\circ - \alpha) + 2b_2$</p> <p>要注意範囲：図中に示す「Ⅱ」の範囲 (①または②で決まる範囲)</p> <p>{ Ⅰ, Ⅲの条件のどちらにも該当しない範囲 }</p>
P.106	<p>無条件範囲：図中に示す「Ⅰ」の範囲</p> <p>① $D_{f1}' \leq D_{f2} < D_{f1}$ の場合で, $B_0 > 2b_2$</p> <p>② $D_{f2} \geq D_{f1}$ の場合で, $B_0 > (D_{f2} - D_{f1}) \cdot \tan(90^\circ - \alpha) + 2b_2$</p> <p>要注意範囲：図中に示す「Ⅱ」の範囲 (①または②で決まる範囲)</p> <p>{ Ⅰ, Ⅲの条件のどちらにも該当しない範囲 }</p>	<p>無条件範囲：図中に示す「Ⅰ」の範囲 (①または②で決まる範囲)</p> <p>① $D_{f1}' \leq D_{f2} < D_{f1}$ の場合で, $B_0 > 2b_2$</p> <p>② $D_{f2} \geq D_{f1}$ の場合で, $B_0 > (D_{f2} - D_{f1}) \cdot \tan(90^\circ - \alpha) + 2b_2$</p> <p>要注意範囲：図中に示す「Ⅱ」の範囲 (①または②で決まる範囲)</p> <p>{ Ⅰ, Ⅲの条件のどちらにも該当しない範囲 }</p>
P.115	<p>(1) 既設構造物が直接基礎 (盛土・素地含む)・杭基礎・ケーソン基礎の場合</p>	<p>(1) 既設構造物が直接基礎 (盛土・素地含む) ・杭基礎・ケーソン基礎の場合</p>
P.117	<p>無条件範囲：図中に示す「Ⅰ」の範囲 (①かつ②で決まる範囲)</p> <p>① $D_{f1}' \leq D_{f2} < D_{f1}$ の場合で, $B_0 > 3l_2$</p> <p>② $D_{f2} \geq D_{f1}$ の場合で, $B_0 > (D_{f2} - D_{f1}) \cdot \tan(90^\circ - \alpha) + 3l_2$</p> <p>要注意範囲：図中に示す「Ⅱ」の範囲</p> <p>{ Ⅰ, Ⅲの条件のどちらにも該当しない範囲 }</p> <p>制限範囲：図中に示す「Ⅲ」の範囲 (③かつ④で決まる範囲)</p> <p>③ $D_{f1}' \leq D_{f2} < D_{f1}$ の場合で, $B_0 \leq l_2$</p> <p>④ $D_{f2} \geq D_{f1}$ の場合で, $B_0 \leq 3l_2$</p>	<p>無条件範囲：図中に示す「Ⅰ」の範囲 (①または②で決まる範囲)</p> <p>① $D_{f1}' \leq D_{f2} < D_{f1}$ の場合で, $B_0 > 3l_2$</p> <p>② $D_{f2} \geq D_{f1}$ の場合で, $B_0 > (D_{f2} - D_{f1}) \cdot \tan(90^\circ - \alpha) + 3l_2$</p> <p>要注意範囲：図中に示す「Ⅱ」の範囲</p> <p>{ Ⅰ, Ⅲの条件のどちらにも該当しない範囲 }</p> <p>制限範囲：図中に示す「Ⅲ」の範囲 (③または④で決まる範囲)</p> <p>③ $D_{f1}' \leq D_{f2} < D_{f1}$ の場合で, $B_0 \leq l_2$</p> <p>④ $D_{f2} \geq D_{f1}$ の場合で, $B_0 \leq 3l_2$</p>

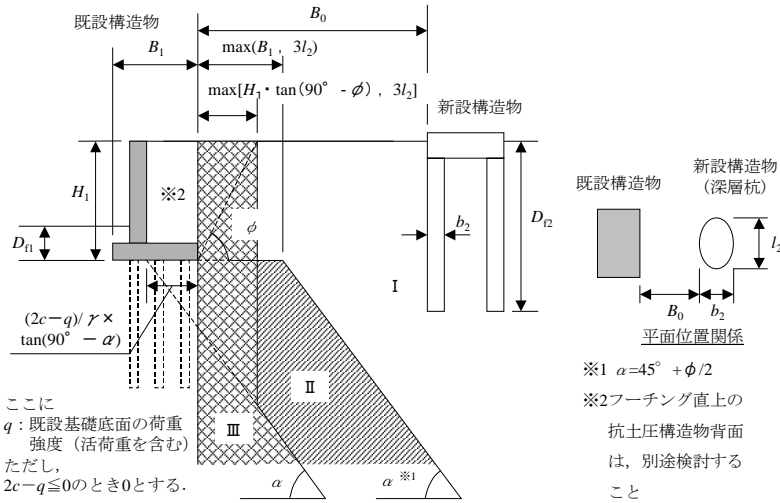


図 3.7.5 深礎杭の近接程度の区分 (図中の記号は 1.5.2 による)

無条件範囲 : 図中に示す「I」の範囲 (①かつ②で決まる範囲)

- ① $B_0 > \max(B_1, 3l_2)$
- ② $D_{12} \geq H_1$ の場合で、 $B_0 > (D_{12} - H_1) \cdot \tan(90^\circ - \phi) + \max(B_1, 3l_2)$

要注意範囲 : 図中に示す「II」の範囲

{ I, III の条件のどちらにも該当しない範囲 }

制限範囲 : 図中に示す「III」の範囲 (③かつ④で決まる範囲)

- ③ $\max [H_1 \cdot \tan(90^\circ - \phi), 3l_2]$
- ④ $D_{12} \geq H_1$ の場合で、 $B_0 \leq (D_{12} - H_1) \cdot \tan(90^\circ - \phi) - \{(2c - q) / \gamma\} \cdot \tan(90^\circ - \alpha)$

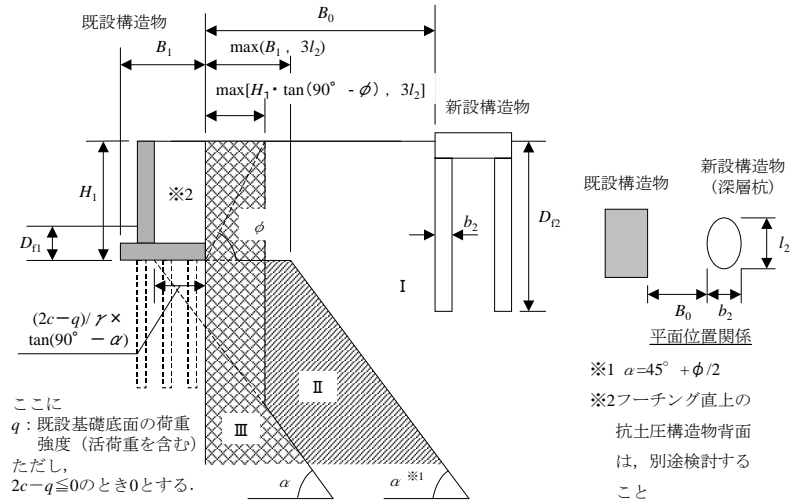


図 3.7.5 深礎杭の近接程度の区分 (図中の記号は 1.5.2 による)

無条件範囲 : 図中に示す「I」の範囲 (①かつ②で決まる範囲)

- ① $B_0 > \max(B_1, 3l_2)$
- ② $D_{12} \geq H_1$ の場合で、 $B_0 > (D_{12} - H_1) \cdot \tan(90^\circ - \phi) + \max(B_1, 3l_2)$

要注意範囲 : 図中に示す「II」の範囲

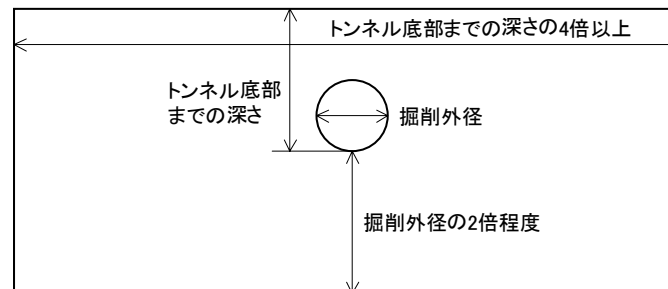
{ I, III の条件のどちらにも該当しない範囲 }

制限範囲 : 図中に示す「III」の範囲 (③かつ④で決まる範囲)

- ③ $B_0 \leq \max [H_1 \cdot \tan(90^\circ - \phi), 3l_2]$
- ④ $D_{12} \geq H_1$ の場合で、 $B_0 \leq (D_{12} - H_1) \cdot \tan(90^\circ - \phi) - \{(2c - q) / \gamma\} \cdot \tan(90^\circ - \alpha)$

P.160
解説

下図を追記



解説図 3.11.3 解析領域の設定方法

P.168
要注意範囲：図中に示す「Ⅲ」の範囲
制限範囲：図中に示す「Ⅱ」の範囲

要注意範囲：図中に示す「Ⅱ」の範囲
制限範囲：図中に示す「Ⅲ」の範囲

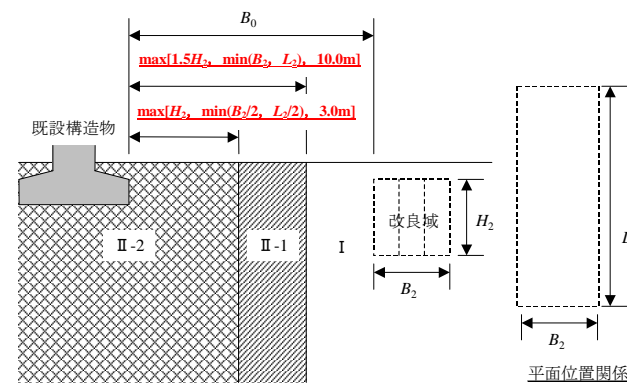
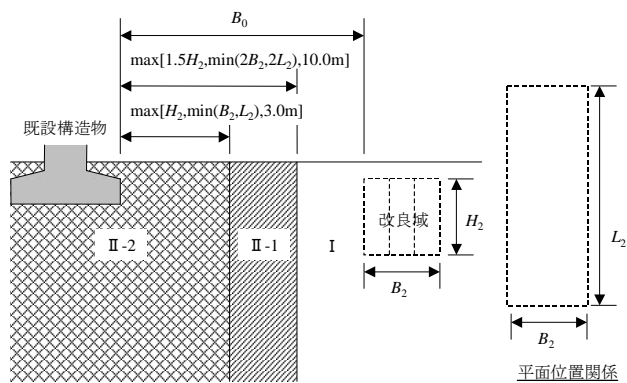
P.169
要注意範囲：図中に示す「Ⅲ」の範囲
制限範囲：図中に示す「Ⅱ」の範囲

要注意範囲：図中に示す「Ⅱ」の範囲
制限範囲：図中に示す「Ⅲ」の範囲

P.182
要注意範囲：図中に示す「Ⅱ-2」の範囲
 $B_0 > \max[\min\{1.5H_2, D_{T2}/2, B_2/2, L_2/2\}, 3.0\text{m}]$ かつ $D_{T1}' \leq D_{T2}'$

要注意範囲：図中に示す「Ⅱ-2」の範囲
 $B_0 \leq \max[\min\{1.5H_2, D_{T2}/2, B_2/2, L_2/2\}, 3.0\text{m}]$ かつ $D_{T1}' \leq D_{T2}'$

P.188
図 4.3.1



ページ	誤	正
<p>P 155 図 3.11.3</p>	<p>既設構造物</p> <p>B_0</p> <p>$2B_2$</p> <p>B_2</p> <p>D_n</p> <p>$l/3$</p> <p>l</p> <p>B_2</p> <p>D_{12}</p> <p>新設構造物</p> <p>$=45^\circ + /2$</p> <p>$\max(3B_2, 10.0\text{m})$</p>	<p>既設構造物</p> <p>B_0</p> <p>$2B_2$</p> <p>B_2</p> <p>D_n</p> <p>$2l/3$</p> <p>l</p> <p>B_2</p> <p>D_{12}</p> <p>新設構造物</p> <p>$=45^\circ + /2$</p> <p>$\max(3B_2, 10.0\text{m})$</p>
<p>P 168 図 3.12.3</p>	<p>既設構造物</p> <p>B_0</p> <p>$2B_2$</p> <p>B_2</p> <p>D_n</p> <p>$l/3$</p> <p>l</p> <p>B_2</p> <p>D_{12}</p> <p>新設構造物</p> <p>$=45^\circ + /2$</p>	<p>既設構造物</p> <p>B_0</p> <p>$2B_2$</p> <p>B_2</p> <p>D_n</p> <p>$2l/3$</p> <p>l</p> <p>B_2</p> <p>D_{12}</p> <p>新設構造物</p> <p>$=45^\circ + /2$</p>
<p>P 169</p>	<p>無条件範囲：図中に示す「I」の範囲（かつで決まる範囲）</p>	<p>無条件範囲：図中に示す「I」の範囲（またはで決まる範囲）</p>